

01;05

Особенности доменной структуры кристалла-пластины (011) ферритов-гранатов

© Р.М. Вахитов, Е.Г. Шанина

Башкирский государственный университет,
450074 Уфа, Россия
e-mail: VakhitovRM@bsu.bashedu.ru

(Поступило в Редакцию 29 ноября 2002 г.)

Теоретически исследуется доменная структура и ее свойства в кристалле-пластине (011) с учетом наведенной одноосной и кубической анизотропий, причем последняя взята в двухконстантном приближении. Показано, что учет второй константы кубической анизотропии существенно влияет на ориентационную фазовую диаграмму, а также на топологию магнитных неоднородностей, возможных в рассматриваемом магнетике. В частности, установлено, что в определенной области значений констант комбинированной анизотропии возможно образование 180°-ных доменных границ с неблоховской структурой, благодаря которым имеет место непрерывная переориентация стенок от одного положения к другому.

Известно, что разбиение магнетика на домены существенно изменяет его статические и динамические свойства. На доменную структуру образца влияют многие факторы, в том числе и наличие анизотропных взаимодействий высших порядков [1,2]. В этом отношении представляет интерес исследование доменной структуры монокристаллов ферритов-гранатов, в которых, как правило, имеет место сочетание двух типов анизотропий различной симметрии: наведенной одноосной (НОА) и естественной кубической (КА). Данные материалы обладают рядом уникальных магнитных свойств и широко используются в прикладной магнитоэлектронике [3].

В настоящей работе основное внимание уделяется изучению структуры и свойств магнитных неоднородностей, возможных в пластинах ферритов-гранатов с развитой поверхностью (011). Указанные магнетики характеризуются наличием в них ромбической анизотропии, что значительно улучшает их динамические характеристики и, как следствие, вызывает повышенный интерес к ним [3,4]. Ранее подобное исследование для пластины (011) было проведено в [5] в рамках феноменологической модели, учитывающей НОА и КА в одноконстантном приближении. Однако, как показывают исследования [6,7], при понижении температуры (вплоть до гелиевых) вклад второй константы КА K_2 значительно возрастает и может сравниться (и даже превзойти) с вкладом от первой (K_1). Это сказывается на основном состоянии рассматриваемого кристалла [7,8] и на его спектре магнитоупругих волн [9]. Следует отметить, что учет K_2 в разложении энергии КА означает более полный учет симметрии КА, а с точки зрения магнитных состояний это учет вклада осей типа (011) на ориентационную фазовую диаграмму (ОФД) рассматриваемого магнетика [6].

В соответствии со сказанным энергию магнитных неоднородностей для достаточно толстой пластины

рассмотрим в виде [5]

$$\begin{aligned}
 E = \int_{-\infty}^{\infty} \left\{ A \left[(d\Theta/dy)^2 + \sin^2 \Theta (d\varphi/dy)^2 \right] \right. \\
 + \left[K_u + K_p \sin^2(\varphi - \psi) \right] \sin^2 \Theta \\
 + \frac{1}{4} K_1 \left[\sin^4 \Theta \sin^2(\varphi - \psi) (\sin^2(\varphi - \psi) \right. \\
 + 4 \cos^2(\varphi - \psi)) + 2 \sin^2 \Theta \cos^2 \Theta (2 \cos^2(\varphi - \psi) \\
 - \sin^2(\varphi - \psi)) + \cos^4 \Theta \left. \right] + \frac{1}{4} K_2 \sin^2 \Theta \cos^2(\varphi - \psi) \\
 \times \left[\cos^4 \Theta - 2 \sin^2 \Theta \cos^2 \Theta \sin^2(\varphi - \psi) \right. \\
 + \sin^4 \Theta \sin^4(\varphi - \psi) \left. \right] + 2\pi M_s^2 (\sin \Theta \sin \varphi \\
 - \sin \Theta_{\infty} \sin \varphi_{\infty})^2 \left. \right\} dy, \quad (1)
 \end{aligned}$$

где A — обменный параметр; K_u и K_p — константы перпендикулярной и ромбической компонент НОА соответственно; M_s — намагниченность насыщения; Θ и φ — полярный и азимутальный углы вектора намагниченности \mathbf{M} ; Θ_{∞} и φ_{∞} — значения этих углов в доменах; здесь система координат выбрана так, что $Oz \parallel [011]$, Oy перпендикулярен плоскости доменной границы (ДГ), а Ox лежит в плоскости ДГ и составляет некоторый угол (равный ψ) с осью [100].

Возможные магнитные неоднородности рассматриваемого кристалла находятся из условий минимума энергии (1), которые сводятся к решению уравнений Эйлера–Лагранжа [1,2,5]

$$\frac{\delta E}{\delta \Theta} = 0, \quad \frac{\delta E}{\delta \varphi} = 0, \quad \frac{\delta E}{\delta \psi} = 0 \quad (2)$$

при выполнении условия

$$\delta^2 E > 0. \quad (3)$$

Однако полный анализ соотношений (2) и (3) невозможно провести без знания ОФД исследуемого магнетика.

Однородные магнитные состояния

Равновесные направления вектора намагниченности \mathbf{M} в доменах можно определить из условий минимума (2), (3) с учетом того, что для однородно намагниченной пластины в (1) следует положить: $\psi = 0$, $\Theta = \Theta_\infty$, $\varphi = \varphi_\infty$, $d\Theta/dy = 0$, $d\varphi/dy = 0$. Расчеты показывают [8], что в кристалле-пластине (011) возможно существование девяти магнитных фаз, три из которых симметричные, а шесть диссимметричные [9]. Им соответствуют следующие решения:

1) $\Theta = 0, \pi$, $\mathbf{M} \parallel [011]$; область устойчивости данной фазы ($\Phi_{[100]}$), которая находится из условия положительной определенности квадратичной формы (3), определяется соотношениями

$$K_2 > -2(2K_u + K_1), \quad K_1 < K_u + K_p,$$

2) $\Theta = \pi/2$, $\varphi = 0, \pi$, $\mathbf{M} \parallel [100]$,

$$K_1 > -K_p, \quad K_1 > K_u (\Phi_{[100]});$$

3) $\Theta = \pi/2$, $\varphi = \pi/2, 3\pi/2$, $\mathbf{M} \parallel [01\bar{1}]$,

$$K_1 < -(K_p + K_u), \quad K_1 > 2K_p - K_2/2 (\Phi_{[01\bar{1}]});$$

4) $\sin \Theta = \pm \sqrt{[K_1 - (K_u + K_p)]/2K_1}$, $\varphi = \pi/2, 3\pi/2$,

$$\mathbf{M} \parallel [0uv], \quad K_1 \geq -(K_p + K_u), \quad K_1 \geq K_p + K_u,$$

$$4K_1^3 + 2K_1^2(K_p - K_u) + K_2(K_p + K_u)^2 > 0.$$

Данная фаза ($\Phi_{<}^I$) относится к угловому типу [8], фазы которого характеризуются тем, что соответствующий им вектор \mathbf{M} в зависимости от значений констант НОА и КА изменяет свое направление, не выходя из определенной плоскости симметрии куба. В фазе ($\Phi_{<}^I$) вектор намагниченности \mathbf{M} лежит в плоскости (100)

$$5) \Theta = \pi/2, \quad \sin^2 \varphi = \{K_2 - 3K_1 \pm [(K_2 - 3K_1)^2 + 12K_2(K_1 + K_p)]^{1/2}\}/3K_2, \quad \mathbf{M} \parallel [uv\bar{v}].$$

Здесь разным знаком в выражении для φ отвечают две угловые фазы: ($\Phi_{<}^I$)₁ и ($\Phi_{<}^I$)₂, относящиеся к одной и той же группе симметрии. В обоих случаях вектор \mathbf{M} лежит в плоскости (011)

$$6) \sin^2 \Theta = \{2K_2 + 3K_1 \pm [(2K_2 + 3K_1)^2 - 3K_2(4K_u + 2K_1 + K_2)]^{1/2}\}/3K_2, \quad \varphi = 0, \pi, \quad \mathbf{M} \parallel [uvv].$$

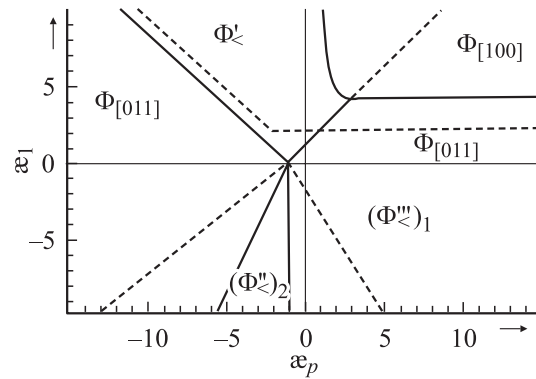


Рис. 1. ОФД пластины (011) для случая $K_u > 0$, $x_2 = -4$. Сплошные кривые — линии СПФП, штриховые — границы устойчивости фаз.

Здесь также двум решениям соответствуют две угловые фазы: ($\Phi_{<}^III$)₁ и ($\Phi_{<}^III$)₂; в обоих случаях вектор \mathbf{M} лежит в плоскости (01 $\bar{1}$). Во всем остальном рассматриваемая ситуация аналогична предыдущей.

7) $\mathbf{M} \parallel [uvw]$. Фаза ($\Phi_{<}^IV$), которую иногда называют фазой общего вида [5], относится также к неколлинеарным фазам. Однако в отличие от ранее рассмотренных угловых фаз соответствующий ей вектор \mathbf{M} меняет ориентацию в зависимости от значений констант комбинированной анизотропии, не оставаясь ни в одной из плоскостей симметрии куба. Фаза общего вида относится к группе с самой низкой симметрией; если в группах симметрии угловых фаз содержатся какие-то нетривиальные элементы симметрии (например, плоскость отражения), то в группе симметрии фазы общего вида таковые отсутствуют.

Полученные результаты, включая и данные численного анализа соотношений (2) и (3), позволяют построить ОФД пластины (011) (рис. 1), представляющую наиболее полную картину областей устойчивости магнитных фаз и спин-переориентационных фазовых переходов (СПФП) между ними [8]. Не вдаваясь в детали данных фазовых диаграмм, выделим в них те моменты, которые обусловлены вкладом константы K_2 . С учетом K_2 связано прежде всего возникновение угловых фаз ($\Phi_{<}^II$)₂ и ($\Phi_{<}^III$)₂, а также фазы общего вида $\Phi_{<}^IV$. Причем последняя фаза именно при $K_2 \neq 0$ становится устойчивой в области $x_1 < 0$, $x_2 > 1.7$, $x_p > 0$, $K_u < 0$, где $x_1 = K_1/|K_u|$, $x_2 = K_2/|K_u|$, $x_p = K_p/|K_u|$. Во-вторых, при $K_u > 0$ на ОФД имеет место пятерная точка с $x_p = -1$, $x_1 = 0$, $x_2 = -4$, в которой сходятся области устойчивости 5 фаз (рис. 1). Это находится в согласии с правилом фаз Гиббса для рассматриваемой системы: равновесная ориентация вектора \mathbf{M} определяется действием внешних и внутренних полей, включая и дополнительные внутренние поля, обусловленные наличием ромбической анизотропии и КА. В-третьих, изменяются под влиянием K_2 и области устойчивости магнитных фаз, в частности, фазы $\Phi_{[011]}$. Она существует в области $x_2 > -12$, причем при $x_2 > 12$ является метастабильной.

Интервал устойчивости фазы $\Phi_{[011]}$ по κ_2 , лежащей в промежутке $-12 < \kappa_2 < 12$, разбивается на ряд участков, где существенно меняется ОФД пластины (011). Однако их анализ целесообразней провести совместно с исследованием магнитных неоднородностей, возможных в изучаемом магнетике.

Структуры и свойства магнитных неоднородностей

Распределение намагниченности во всем кристалле определяется из уравнений (2) с учетом (1) при выполнении условия (3). Они допускают в явной форме наличие первого интеграла, который для случая блоховских ДГ ($\varphi = 0, \pi$) имеет вид

$$\left(\frac{d\Theta}{d\xi}\right)^2 - r(\sin^2 \Theta + p \sin^4 \Theta + q \sin^6 \Theta) = C, \quad (4)$$

где C — постоянная интегрирования; $\xi = y/\Delta_0$; $\Delta_0 = \sqrt{A/K_u}$; r, p, q — параметры, задаваемые выражениями

$$r = [4(1 + \kappa_p \sin^2 \psi) + 2\kappa_1(1 - 3 \sin^2 \psi) + \kappa_2 \cos^2 \psi]/4,$$

$$p = [\kappa_1(3 - 10 \sin^2 \psi + 3 \sin^4 \psi) + 2\kappa_2(1 - \sin^4 \psi)]/4r, \quad (5)$$

$$q = -\kappa_2 \cos^2 \psi(1 + \sin^2 \psi)/4r. \quad (6)$$

Здесь угол ψ определяет ориентацию ДГ относительно кристаллографических осей и находится из последнего уравнения системы (2). Из множества его решений в общем случае можно выделить три: $\psi = 0$, $\psi = \pi/2$ и $\psi = \psi(\kappa_1, \kappa_2, \kappa_p, Q, \varphi)$, которые и будем в дальнейшем исследовать. Здесь $Q = K_u/2\pi M_s^2$. Рассмотрим значения параметров K_u, K_p, K_1 и K_2 на ОФД, при которых устойчива фаза $\Phi_{[011]}$. Соответствующая ей область для $K_u > 0, \kappa_2 > -12$ состоит из отдельных участков (рис. 2), в которых качественно меняется фазовый портрет уравнения (4).

1) $-4 < \kappa_2 < 3$. Из анализа фазового портрета (4) для области I , определяемой соотношениями $-2 - \kappa_2/2 < \kappa_1 < 1, -1 - \kappa_p < \kappa_1 < 1 + \kappa_p, \kappa_1 < 2\kappa_p - \kappa_2/2$, следует, что сепаратрисам ($C = 0$), проходящим через особые точки $\Theta = \pi n, n \in Z$, типа „седла“ соответствуют решения

$$\text{ctg } \Theta = \pm \sqrt{1-p} \text{sh}(\sqrt{r} \xi), \quad (7)$$

которым отвечают 180° -ные ДГ, разделяющие два домена с $\mathbf{M} \parallel [011], [0\bar{1}\bar{1}]$. Структура, энергия и ширина такой ДГ, равная

$$\Delta = \pi \Delta_0 / \sqrt{r(1-p)}, \quad (8)$$

зависят от констант комбинированной анизотропии и от ориентации ДГ ψ . Последний параметр определяется

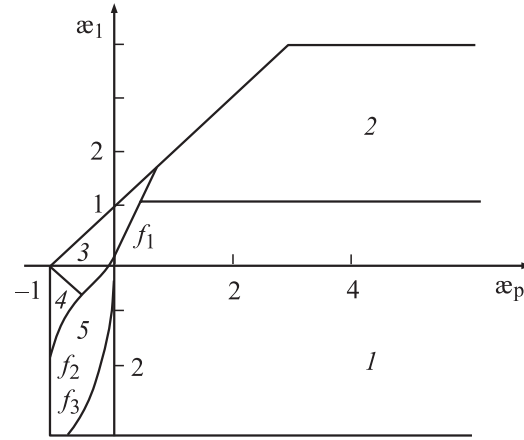


Рис. 2. Диаграмма состояний ДГ различной топологии, которые возможны в области существования фазы $\Phi_{[011]}$; $-4 < \kappa_2 < 3$.

из условия (3), которое в данном случае сводится к неравенству [5,11]

$$\begin{aligned} & (2K_p - 3K_1 - K_2/2) \cos^2(\varphi - \psi) \int_{-\infty}^{\infty} \sin^2 \Theta dy \\ & + \left\{ 5K_1 \cos 2(\varphi - \psi) + (3K_1 - 2K_2) \sin^2(\varphi - \psi) \right. \\ & \times \left. [\sin^2(\varphi - \psi) - 3 \cos^2(\varphi - \psi)] \right\} \int_{-\infty}^{\infty} \sin^4 \Theta dy \\ & + \frac{1}{2} K_2 [\cos 4(\varphi - \psi) - 3 \cos 2(\varphi - \psi) \sin^4(\varphi - \psi) \\ & - 3 \sin^2 2(\varphi - \psi) \sin^2(\varphi - \psi)] \int_{-\infty}^{\infty} \sin^6 \Theta dy > 0. \quad (9) \end{aligned}$$

Исследование соотношения (9) показывает, что ДГ с $\psi = 0$ и $\pi/2$ имеют разные области устойчивости, которые при $\kappa_1 > 0$ пересекаются. Это означает, что в области их сосуществования возможна переориентация ДГ относительно кристаллографических осей, которая будет происходить с гистерезисом. Линия переориентации ДГ находится из равенства энергий

$$E(\psi = 0) = E(\psi = \pi/2), \quad (10)$$

которая определяет некоторую кривую $\kappa_1 = f_1(\kappa_p, \kappa_2)$ (рис. 2): при $\kappa_1 > f_1(\kappa_p, \kappa_2)$ и $\kappa_p < 0$ (часть области 3) устойчивой является 180° ДГ с $\psi = \pi/2$, а при $\kappa_1 < f_1(\kappa_p, \kappa_2)$ и $\kappa_p > 0$ ДГ с $\psi = 0$.

При $\kappa_1 < 0$ ситуация становится другой: области устойчивости этих ДГ не пересекаются. Более того, при $\kappa_1 > f_2(\kappa_p, \kappa_2)$ (область 4) устойчива ДГ с $\psi = \pi/2$, а при $\kappa_1 < f_3(\kappa_p, \kappa_2)$ (сюда входит также часть области I , лежащей ниже линии $\kappa_1 = 0$) —

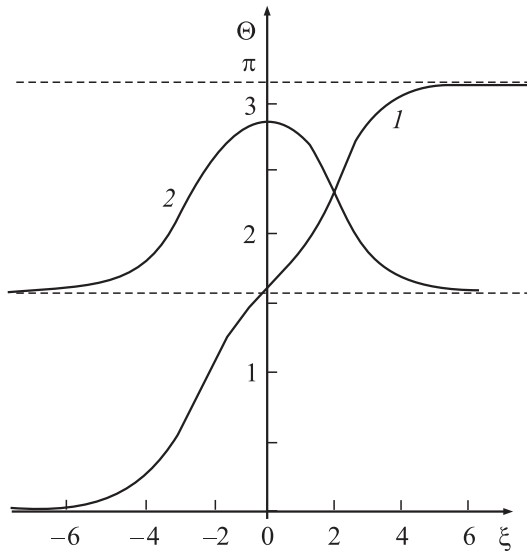


Рис. 3. Распределения намагниченности, описывающие 180° ДГ с перетяжкой (1) и 0 ДГ (2) в области (2) (рис. 2).

ДГ с $\psi = 0$. В области 5, ограниченной кривыми $\kappa_1 = f_2(\kappa_p, \kappa_2)$, $\kappa_1 = f_3(\kappa_p, \kappa_2)$, $\kappa_1 = -2 - \kappa_2/2$ и $\kappa_p = -1$, оба типа ДГ являются неустойчивыми. Очевидно, в этом случае будут реализоваться неблоховские типы 180°-ных ДГ с некруговой траекторией вектора намагниченности \mathbf{M} [12], которые рассмотрим отдельно. Кривые $\kappa_1 = f_2(\kappa_p, \kappa_2)$ и $\kappa_1 = f_3(\kappa_p, \kappa_2)$ находятся из (9), когда для соответствующих ориентаций знак неравенства заменяется знаком равенства.

В области $\kappa_1 > 1$ (область 2) фазовый портрет уравнения (4) качественно меняется: вид сепаратрис, проходящих через особые точки $\Theta = \pi n$, $n \in \mathbb{Z}$, значительно усложняется. В этом случае, реализуется 180°-ные ДГ с перетяжками (рис. 3, кривая 1). Такие ДГ характеризуются тем, что в профиле распределения намагниченности появляются три точки перегиба. Перетяжка служит зародышем новой фазы [5,11,13] и возникает, если в плоскости вращения спинов расположена метастабильная ось (в данном случае — это ось типа [100]). Кроме того, на фазовом портрете имеют место замкнутые фазовые траектории с самопересечением ($C = \sqrt{(p+q-1)}$), которым соответствуют уединенные магнитные неоднородности типа 0°-ных ДГ или статических солитонов [5,11]. Они в отличие от 180°-ных ДГ разделяют два домена с одинаково направленными векторами \mathbf{M} ($\mathbf{M} \parallel [100]$) и описываются законом изменения намагниченности вида (рис. 3, кривая 2)

$$\operatorname{tg} \Theta = \pm \sqrt{(1-p)/(2p-1)} \operatorname{ch} \left[\xi \sqrt{r(2p-1)} \right]. \quad (11)$$

Они также являются зародышами новой фазы, которые „конденсируются“ на дефектах кристалла, и играют важную роль в процессах спиновой переориентации магнетиков [14]. Они имеют те же ориентации, что и 180°-ные ДГ: $\psi = 0$ и $\pi/2$; их устойчивость определяется

из соотношения (9). Линия их переориентации является продолжением линии $\kappa_1 = f_1(\kappa_p, \kappa_2)$. Кроме данной области значений κ_1 „солитонные“ решения вида (11) возникают в промежутке $-1 - \kappa_p < \kappa_1 < 2\kappa_p - \kappa_2/2$. Они обладают теми же свойствами, что и вышеописанные 0°-ные ДГ, за исключением того, что их доменным состояниям соответствует состояние с $\mathbf{M} \parallel [01\bar{1}]$. В этом же промежутке значений κ_1 в структуре 180°-ных ДГ возникает перетяжка, обусловленные наличием метастабильной оси $[01\bar{1}]$ в плоскости стенки.

2) $-6 < \kappa_1 < -4$. В данном случае в области существования фазы $\Phi_{[011]}$ (рис. 2) отсутствует субобласть $-1 - \kappa_p < \kappa_1 < 2\kappa_p - \kappa_2/2$, где она сосуществует с фазой $\Phi_{[01\bar{1}]}$. Поэтому в промежутках $-2 - \kappa_2/2 < \kappa_1 < 1$ и $\kappa_1 < 1 + \kappa_p$ реализуются обычные 180°-ные ДГ без перетяжек, которые были описаны ранее. При $\kappa_1 > 1$ имеет место сосуществование фазы $\Phi_{[011]}$ с метастабильной фазой $\Phi_{[100]}$, что приводит к возникновению в структуре 180°-ных ДГ перетяжек, а также к появлению магнитных неоднородностей типа статических солитонов, которые были также рассмотрены в предыдущем разделе.

3) $-12 < \kappa_2 < -6$. В данной области значений κ_2 имеет место единственная ситуация, когда фазы $\Phi_{[011]}$ и $\Phi_{[100]}$ сосуществуют, причем последняя является метастабильной. Остаются лишь решения, соответствующие 180°-ным ДГ с одной перетяжкой и $\psi = 0$ и 0°-ным ДГ с той же ориентацией.

4) $3 < \kappa_2 < 12$. Здесь ситуация аналогична пункту 1, за исключением того, что в промежутке $(-\kappa_2 + \sqrt{12\kappa_2})/2 < \kappa_1 < 1$ дополнительно к имеющимся появляется метастабильная угловая фаза $(\Phi_{<}^{\text{III}})_2$. Это приводит к тому, что в структуре 180°-ных ДГ возникает две перетяжки, обусловленные появлением двух метастабильных осей типа $[uvw]$ с $\Theta = \Theta_m$ и $\Theta = \pi - \Theta_m$ (рис. 4). Кроме того, на фазовом портрете уравнения (4) появляются дополнительно две особые точки

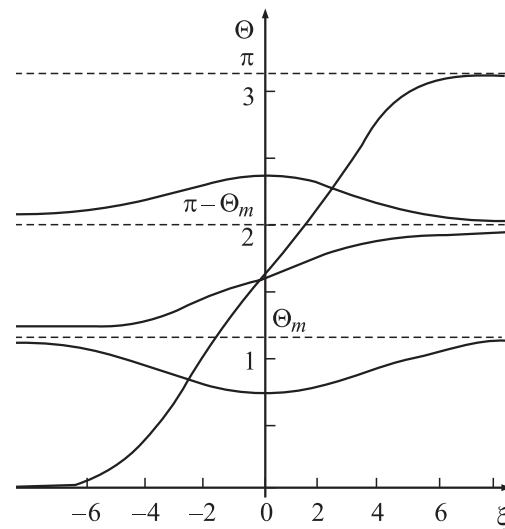


Рис. 4. Магнитные неоднородности различной топологии, возможные в области $(-\kappa_2 + \sqrt{12\kappa_2})/2 < \kappa_1 < 1$, $3 < \kappa_2 < 12$.

типа „седла“ с $\Theta = \Theta_m$ и $\Theta = \pi - \Theta_m$, которые приводят к появлению фазовых траекторий, проходящих через эти точки и имеющих вид „перекрученной гантели“. Частям „гантели“, имеющим вид петель с самопересечением, соответствуют статические солитоны, в которых основным состоянием являются состояния с $\Theta = \Theta_m$ либо с $\Theta = \pi - \Theta_m$ (рис. 4). Фазовым траекториям, соединяющим точки с $\Theta = \Theta_m$ и с $\Theta = \pi - \Theta_m$, соответствуют магнитные неоднородности типа $(180 - 2\Theta_m)^\circ$ -ных ДГ с $\mathbf{M} \parallel [uvv]$ в доменах.

5) $\kappa_2 > 12$. В этом случае в области $-(\kappa_2 + 4)/2 < \kappa_1 < [-2\kappa_2 - 2(\kappa_2^2 + 36\kappa_2)^{1/2}]/9$ симметричная фаза $\Phi_{[011]}$ становится метастабильной, т.е. линия $\kappa_1 = -(\kappa_2 + 4)/2$, являющаяся при $\kappa_2 < 12$ линией СПФП II рода между фазами $\Phi_{[011]}$ и $(\Phi_{<}^{\text{III}})_1$, при $\kappa_1 \geq 12$ переходит в линию СПФП I рода между этими фазами. Таким образом, точка $\kappa_2 = 12$ является трикритической точкой на ОФД пластины (011). В промежутке $[-2\kappa_2 - 2(\kappa_2^2 + 36\kappa_2)^{1/2}]/9 < \kappa_1 < [-\kappa_2 - (12\kappa_2)^{1/2}]/3$ угловая фаза $(\Phi_{<}^{\text{III}})_1$ является уже метастабильной. Из сказанного следует, что в рассматриваемой области на фазовом портрете уравнения (4) (как и в предыдущем случае) появляются две седловые точки с координатами $\Theta = \Theta_m$ и $\Theta = \pi - \Theta_m$, которые приводят к возникновению магнитных неоднородностей следующих типов: статические солитоны, основное состояние которых $\Theta = \Theta_m$ или $\Theta = \pi - \Theta_m$, $(180 - 2\Theta_m)^\circ$ -ные ДГ и 180° -ные ДГ с двумя перетяжками (рис. 5).

В случае, когда $-(\kappa_2 + 4)/2 < \kappa_1 < [-2\kappa_1 - 2(\kappa_2^2 + 36\kappa_2)^{1/2}]/9$, ситуация значительно меняется: через точки $\Theta = \pi n, n \in \mathbb{Z}$ проходят фазовые траектории типа замкнутых петель с самопересечением. Им соответствуют 0° -ные ДГ с $\mathbf{M} \parallel [011]$ в доменах (рис. 6). В то же время через точки $\Theta = \Theta_m + \pi n$ и $\Theta = \pi(n - 1) - \Theta_m$, где $n \in \mathbb{Z}$, проходят сепаратрисы,

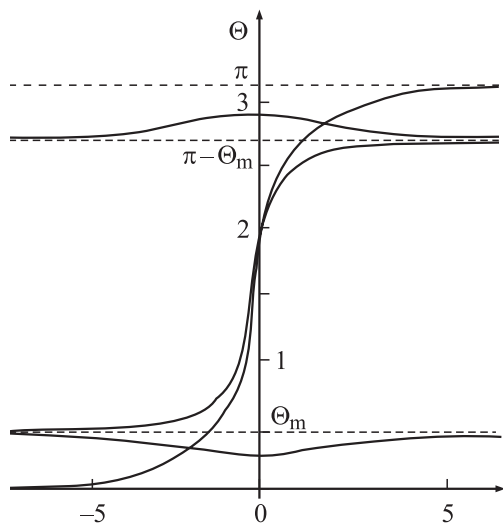


Рис. 5. Магнитные неоднородности различной топологии, возможные в области $[-2\kappa_2 - 2(\kappa_2^2 + 36\kappa_2)^{1/2}]/9 < \kappa_1 < [-\kappa_2 - (12\kappa_2)^{1/2}]/3, \kappa_2 > 12$.

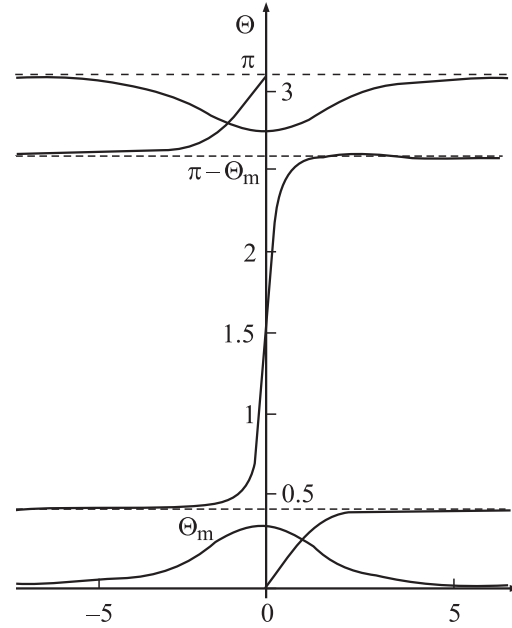


Рис. 6. Возможные магнитные неоднородности в области $-(\kappa_2 + 4)/2 < \kappa_1 < [-2\kappa_1 - 2(\kappa_2^2 + 36\kappa_2)^{1/2}]/9, \kappa_2 > 12$.

которым соответствуют $(180 - 2\Theta_m)^\circ$ -ные ДГ. Однако возможны также и $(2\Theta_m)^\circ$ ДГ.

Следует отметить, что магнитные неоднородности, рассматриваемые здесь в зависимости от параметров комбинированной анизотропии, относятся к неоднородностям уединенного типа. Однако, как показывает анализ фазового портрета уравнения (4), наряду с сепаратрисами существуют и другие типы фазовых траекторий, которым соответствуют распределения намагниченности во всем кристалле, описывающие различные виды периодической доменной структуры. Рассмотрение таких неоднородностей — это отдельное исследование, которое здесь не проводится.

Неблеховские 180° -ные ДГ

Исследуем подробнее область значений параметров $\kappa_1, \kappa_2, \kappa_p$ ($\kappa_1 < 0$), ограниченную кривыми f_2 и f_3 (область 5 на рис. 2). В этой области, как ранее было отмечено, 180° -ные ДГ с $\psi = 0$ и $\pi/2$ не являются устойчивыми и, возможно, реализуются 180° -ные ДГ с квази-блеховской структурой [12]. Запишем энергию ДГ (1) в виде [12,15]

$$E = \sqrt{AK_u} \int_{-\infty}^{\infty} \left\{ \left[\left(\frac{d\Theta}{dy} \right)^2 + \sin^2 \Theta \left(\frac{d\varphi}{dy} \right)^2 + 2g(\Theta, \varphi) \right] \right\} d\xi, \quad (12)$$

где $g(\Theta, \varphi)$ — функция, включающая плотности энергии комбинированной анизотропии и магнитостатической энергии от объемных зарядов, локализованных в ДГ [1].

Систему уравнений (2), определяющих структуру магнитных неоднородностей, будем решать с учетом

граничных условий вида

$$\Theta \Big|_{\xi \rightarrow \pm\infty} = \left\{ \begin{array}{c} \pi \\ 0 \end{array} \right\}, \quad \frac{d\Theta}{d\xi}, \sin^2 \Theta \frac{d\varphi}{d\xi} \Big|_{\xi \rightarrow \pm\infty} = 0. \quad (13)$$

Из-за наличия пространственно расположенных осей легкого намагничивания кубического ферромагнетика вектор намагниченности имеет тенденцию к выходу из плоскости ДГ и тогда его разворот в области стенки должен описываться уже двумя углами $\Theta(\xi)$, $\varphi(\xi)$. При $|K_1|, |K_2|, |K_p| \ll K_u$ можно считать угол $\varphi(\xi)$ слабо зависящим от координаты y . В этом случае углы Θ и φ можно представить в виде следующих разложений:

$$\Theta = \Theta_0(\xi) + \Theta_1(\xi), \quad \varphi = \varphi_0 + \varphi_1(\xi), \quad (14)$$

где Θ_1 и φ_1 — малые добавки к нулевому приближению, определяемому углами Θ_0 и φ_0 .

Последние в рассматриваемом случае равны

$$\varphi_0 = 0, \pi, \quad \text{ctg } \Theta_0 = \pm \text{sh } \xi. \quad (15)$$

В результате линеаризации системы (13) вблизи Θ_0 и φ_0 энергию ДГ представим в виде

$$E = E_0 + E_1, \quad (16)$$

где

$$E_0 = \sqrt{AK_u} \left[4 + \kappa_2/10 + (2\kappa_p + \kappa_1/3 - 7\kappa_2/30) \sin^2 \psi \right. \\ \left. + (2\kappa_2/5 - \kappa_1) \sin^4 \psi - (4\kappa_2/15) \sin^6 \psi \right] \\ \Delta E_1 = \sqrt{AK_u} \int_{-\infty}^{\infty} \frac{\partial g}{\partial \varphi} \Big|_{\Theta=\Theta_0, \varphi=\varphi_0} \varphi_1 d\xi. \quad (17)$$

Из второго уравнения системы (2) в главном приближении по $\kappa_p, \kappa_1, \kappa_2$ получим следующее уравнение:

$$(\hat{L}_0 + Q^{-1})u = \frac{\alpha(\psi)}{\text{ch } \xi} + \frac{\beta(\psi)}{\text{ch}^3 \xi} + \frac{\gamma(\psi)}{\text{ch}^5 \xi}, \quad (18)$$

где

$$\hat{L}_0 = -\frac{d^2}{d\xi^2} + 1 - \frac{2}{\text{ch}^2 \xi}, \quad u = \frac{1}{\text{ch } \xi} \varphi_1,$$

$$\alpha(\psi) = \sin(2\psi)(4\kappa_p - 6\kappa_1 - \kappa_2)/8,$$

$$\beta(\psi) = \sin(2\psi)(5\kappa_1 - (3\kappa_1 - 2\kappa_2) \sin^2 \psi)/4,$$

$$\gamma(\psi) = \sin(2\psi)\kappa_2(1 - 2 \sin^2 \psi - 3 \sin^4 \psi)/8. \quad (19)$$

Решение уравнения (18) ищем в виде разложения

$$u = C_u u_0 + \int_0^{\infty} a(k) f(k) dk, \quad (20)$$

где $u_0, f(k)$ — собственные функции оператора \hat{L}_0 [15,16]

$$u_0 = \frac{\sqrt{2}}{2} \frac{1}{\text{ch } \xi},$$

$$f(k) = \frac{1}{\sqrt{2\pi(1+k^2)}} (\text{th } \xi - ik) \exp(ik\xi). \quad (21)$$

После несложных вычислений получим

$$C_u = -Q\sqrt{2} \sin(2\psi) [\kappa_p + \kappa_1/2 - 7\kappa_2/60 \\ - (\kappa_1 - 2\kappa_2/5) \sin^2 \psi - (2\kappa_2/5) \sin^4 \psi] / 2, \quad (22)$$

$$\varphi_1 = \frac{\sqrt{2}}{2} C_u$$

$$- \text{ch } \xi \left(\frac{1}{3} \beta(\psi) \int_0^{\infty} \frac{k^2 \cos k\xi - k \sin k\xi \text{th } k\xi}{(1+k^2+Q^{-1}) \text{ch } \frac{\pi k}{2}} dk \right. \\ \left. - \frac{1}{30} \gamma(\psi) \int_0^{\infty} \frac{(k^2 \cos k\xi - k \sin k\xi \text{th } k\xi)(k^2+9)}{(1+k^2+Q^{-1}) \text{ch } \frac{\pi k}{2}} dk \right). \quad (23)$$

Численный расчет зависимости $\varphi = \varphi(\xi)$ по формуле (23) представлен на рис. 7, из которого следует, что угол выхода вектора намагниченности из плоскости ДГ претерпевает наибольшие изменения в области стенки. Для случая $Q \ll 1$ выход намагниченности из плоскости ДГ будет определяться выражением (в первом порядке теории возмущений)

$$\varphi_1 = -\frac{1}{8} Q \sin 2\psi \left[4(\kappa_p + \kappa_1) \right. \\ \left. - 2(3\kappa_1 - \kappa_2) \sin^2 \psi - 3\kappa_2 \sin^4 \psi \right. \\ \left. + 2(-3\kappa_1 - \kappa_2 + 3\kappa_1 \sin^2 \psi + 3\kappa_2 \sin^4 \psi) \text{th}^2 \xi \right. \\ \left. + \kappa_2(1 - 2 \sin^2 \psi - 3 \sin^4 \psi) \text{th}^4 \xi \right]. \quad (24)$$

Полученные зависимости позволяют определить ориентацию ДГ, которая находится из минимума (16) с учетом (23). В этом случае угол ψ будет принимать разные значения, зависящие от $\kappa_p, \kappa_1, \kappa_2$, в том числе и значения $\psi = 0, \pi/2$ (рис. 8). Следовательно, при $\kappa_1 < 0$ переориентация ДГ происходит непрерывно с выходом вектора намагниченности из плоскости ДГ аналогично фазовому переходу II рода, в то время как при $\kappa_1 > 0$ переориентация ДГ происходит скачком, подобно фазовому переходу I рода. Данное утверждение является справедливым при $K_2 = 0$, а при учете K_2 точка $\kappa_1 = 0$, в

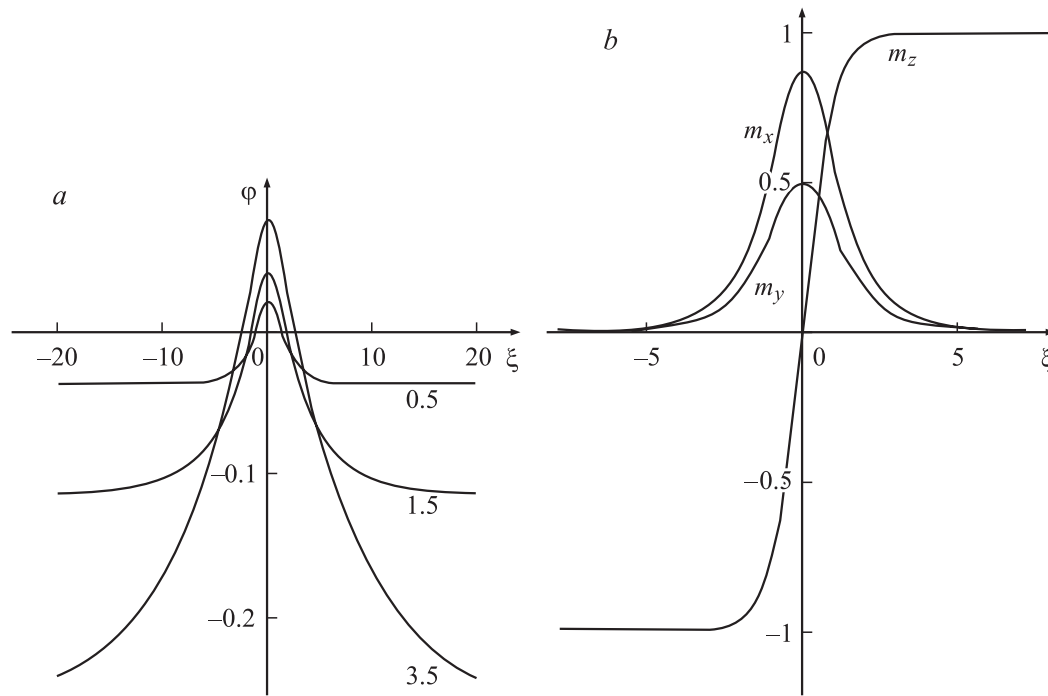


Рис. 7. Распределение намагниченности в переходном слое для 180° ДГ в случае $\kappa_p = -0.2$, $\kappa_1 = -0.3$, $\kappa_2 = -0.3$ и зависимость угла φ от координаты ξ для различных значений Q (около кривых) (a) и компонент намагниченности от ξ для $Q = 0.5$ (b).

которой меняется характер переориентации ДГ относительно кристаллографических осей (подобная трикритической точке в теории фазовых переходов Ландау [13]), смещается в ту или иную сторону.

Таким образом, изучение влияния второй константы КА на основное состояние и доменную структуру кристалла-пластины (011) с комбинированной анизотропией показывает, что вклад осей типа $\langle 011 \rangle$ существен и приводит к усложнению его ОФД. Это в свою очередь сказывается на структуре и свойствах магнит-

ных неоднородностей, которые могут иметь нетривиальную топологию. Например, возможно возникновение 0° -ных ДГ и 180° -ных ДГ с одной или с двумя перетяжками. Кроме того, могут появиться 180° -ные стенки с неблоховской структурой, которые приводят к непрерывной переориентации ДГ от одного положения в другое. Эти и другие особенности доменной структуры могут существенно сказаться и на других свойствах рассматриваемого кристалла, в том числе и при его намагничивании и перемагничивании.

Работа выполнена при поддержке ФЦП „Интеграция“ (проект № Б00155) и гранта МОРФ (шифр ЕОО-3.4-342).

Список литературы

- [1] Хуберт А. Теория доменных стенок в упорядоченных средах. М., 1977. 306 с.
- [2] Зайкова В.А., Старцева И.Е., Филиппов Б.Н. Доменная структура и магнитные свойства электротехнических сталей. М., 1992. 270 с.
- [3] Рандошкин В.В., Червоненкис А.Я. Прикладная магнитооптика. М., 1990. 320 с.
- [4] Рандошкин В.В., Козлов В.И., Мочар В.Ю. и др. // ФТТ. 1999. Т. 41. Вып. 3. С. 1254–1258.
- [5] Сабитов Р.М., Вахитов Р.М., Шанина Е.Г. // Микроэлектроника. 1989. Т. 18. Вып. 3. С. 266–273.
- [6] Белов К.П. Редкоземельные магнетики и их применение. М., 1980. 240 с.
- [7] Mougín A., Dufour C., Dumensil K., Mangin Ph. // Phys. Rev. B. 2000. Vol. 62. N 14. P. 9517–9531.

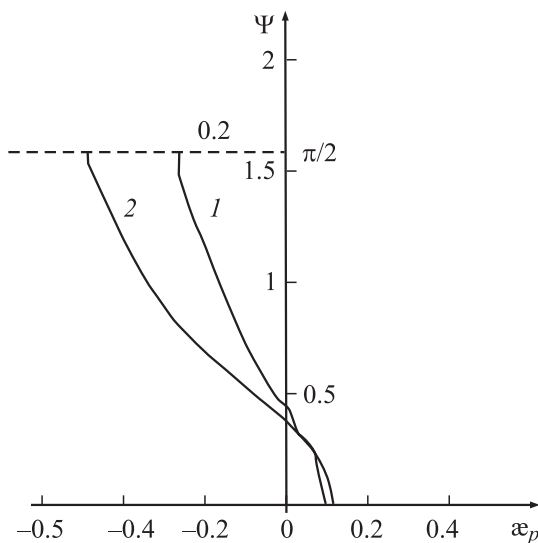


Рис. 8. Зависимость угла ориентации ДГ ψ от x_p . $\kappa_1 = -0/3$ (1), -0.5 (2).

- [8] *Вахитов Р.М.* // ФММ. 2000. Т. 89. Вып. 6. С. 16–20.
- [9] *Вахитов Р.М., Хусаинова В.Р.* // Изв. вузов. Физика. 2001. Т. 44. Вып. 6. С. 90–93.
- [10] *Исюмов Ю.А., Сыромятников В.Н.* Фазовые переходы и симметрия кристаллов. М., 1984. 284 с.
- [11] *Вахитов Р.М., Сабитов Р.М., Фахретдинова Р.С.* Динамика и статика доменной структуры в магнитоупорядоченных кристаллах. Уфа: БНЦ УрО АН СССР, 1988. С. 22–40.
- [12] *Плавский В.В., Шамсутдинов М.А., Филиппов Б.Н.* // ФММ. 1999. Т. 88. Вып. 3. С. 22–29.
- [13] *Белов К.П., Звездин А.К., Кадомцева А.М., Левитин Р.З.* Ориентационные переходы в редкоземельных магнетиках. М., 1979. 320 с.
- [14] *Вахитов Р.М., Юмагузин А.Р.* // ФТТ. 2001. Т. 43. Вып. 1. С. 65–71.
- [15] *Кандаурова Г.С., Памятных Л.А., Шамсутдинов М.А., Филиппов Б.Н.* // ФММ. 1994. Т. 78. Вып. 4. С. 26–43.
- [16] *Winter J.M.* // Phys. Rev. 1961. Vo. 124. N 2. P. 452–459.